### <u>Гридчина М.С.</u> <sup>1,2</sup>, Стеблов Г.М. <sup>1,3</sup>

<sup>1</sup> Институт теории прогноза землетрясений и математической геофизики РАН, г. Москва

<sup>2</sup> ППК «Роскадастр», г. Москва

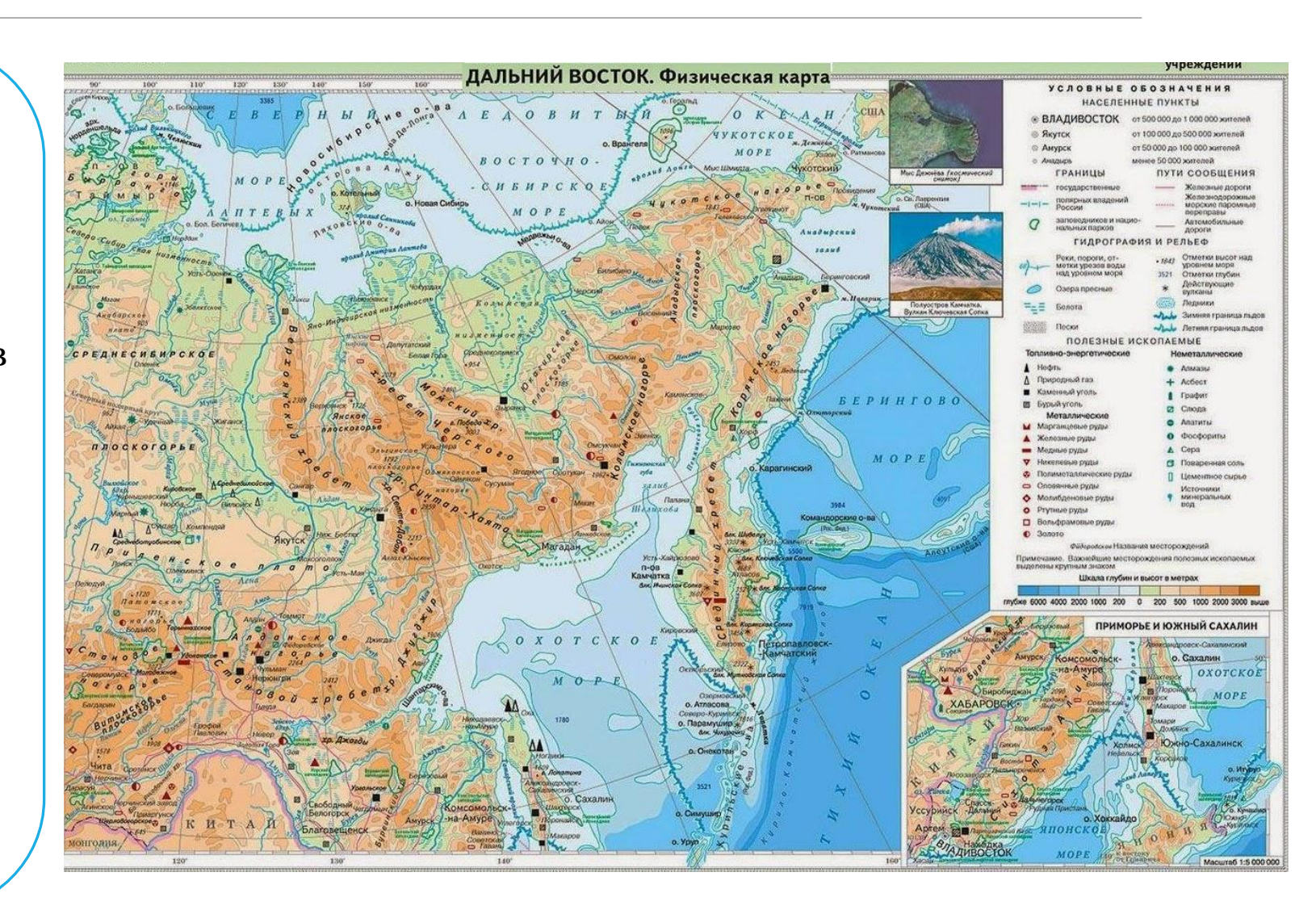
<sup>3</sup> Институт физики Земли им. О.Ю. Шмидта РАН, г. Москва

## АКТИВНЫЕ РАЗЛОМЫ ДАЛЬНЕГО ВОСТОКА. НОВЫЕ ДАННЫЕ

IV Всероссийская научная конференция «Современные методы оценки сейсмической опасности и прогноза землетрясений» 22 октября 2025 г.

## Актуальность

- Высокая скорость субдукции
- Высокая сейсмичность
- Изучение глубинных процессов на основе скоростей ГНСС
- Моделирование механического сцепления на контакте плит
- Изучение предпосылок деформации земной поверхности



## Новые данные. Сахалин

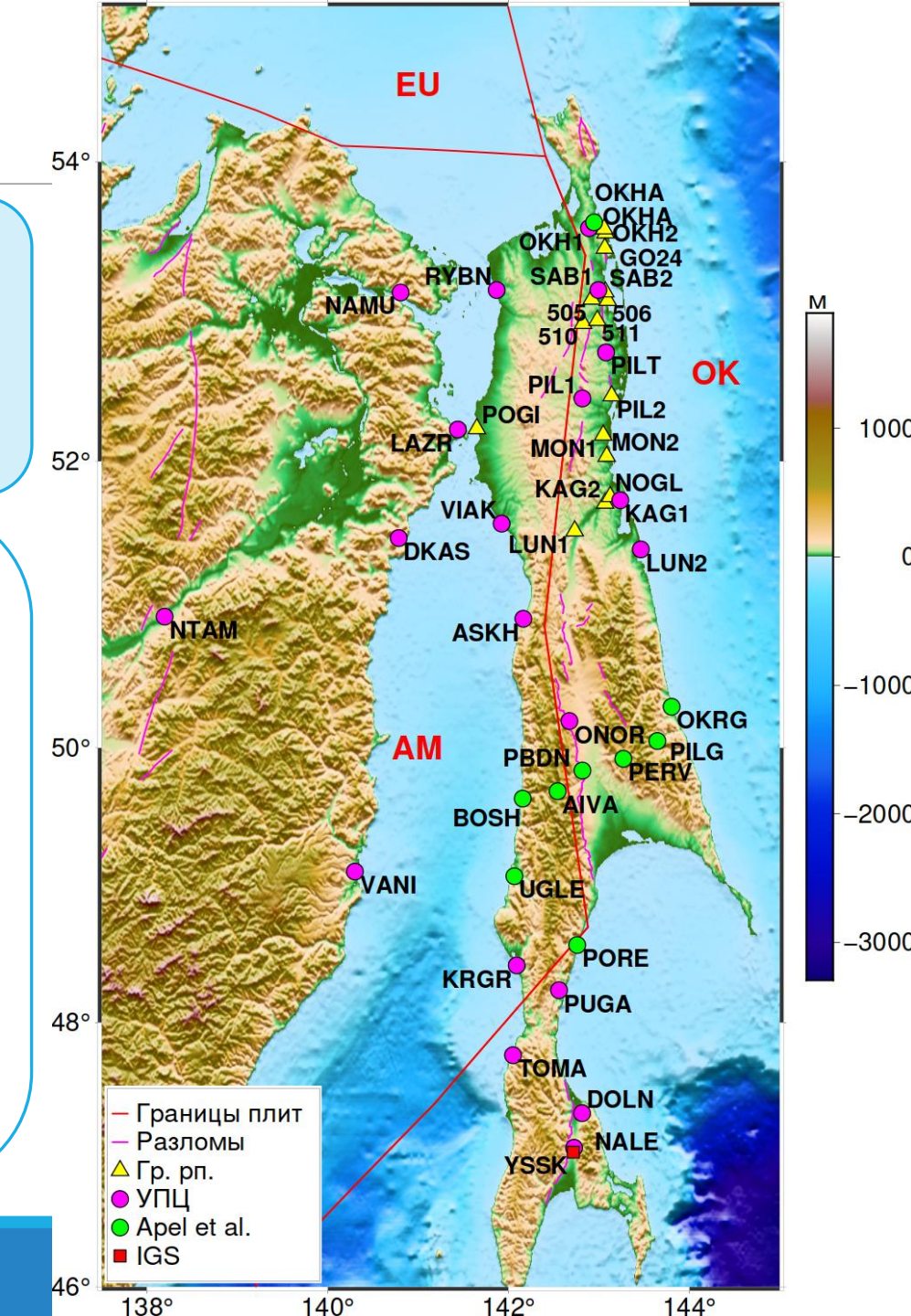
- 23 пункта Северо-Сахалинского геодинамического полигона (ССГДП) Росреестра
- ▶ 1 постоянно действующий пункт IGS YSSK (г. Южно-Сахалинск)
- <mark>>9</mark> пунктов из [*Apel et al., 2006*]

#### Постобработка первичных измерений

GAMIT/GLOBK [Herring et al., 2010]

#### Поправки в ГНСС:

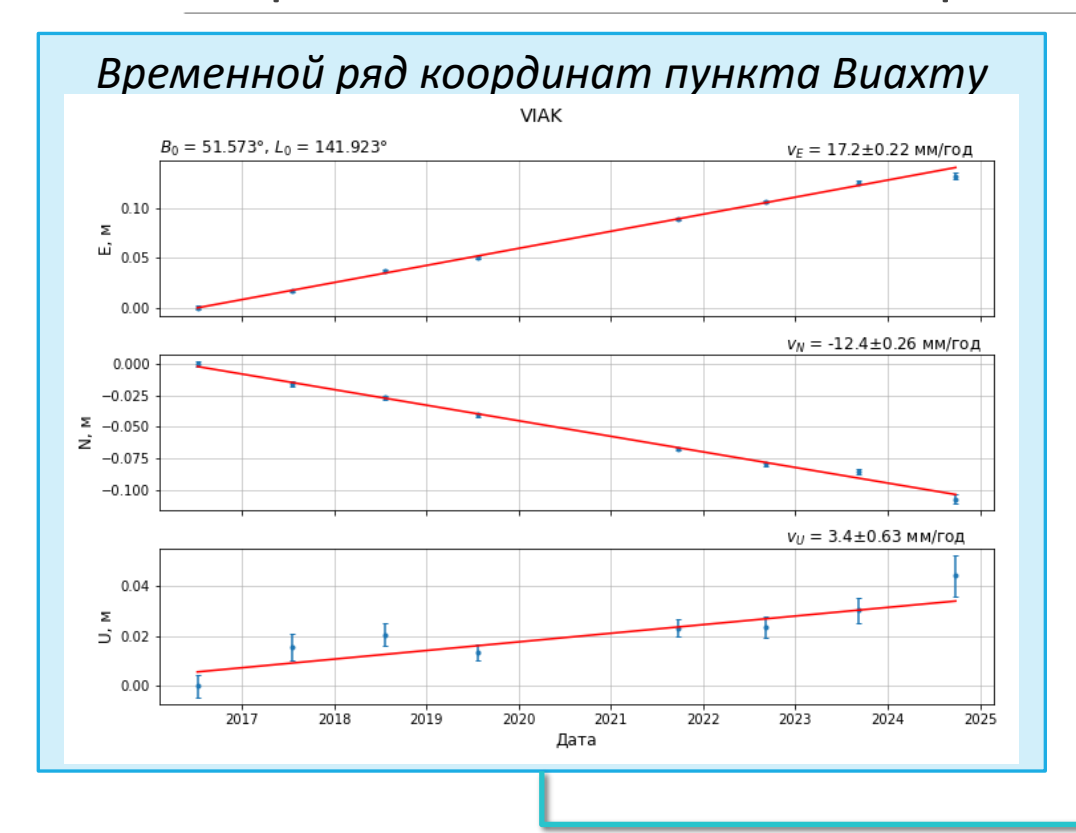
- ▶Приливы
- ▶Вращение Земли
- Атмосферные задержки
- >Погрешности орбитальной информации
- ▶Поправки часов

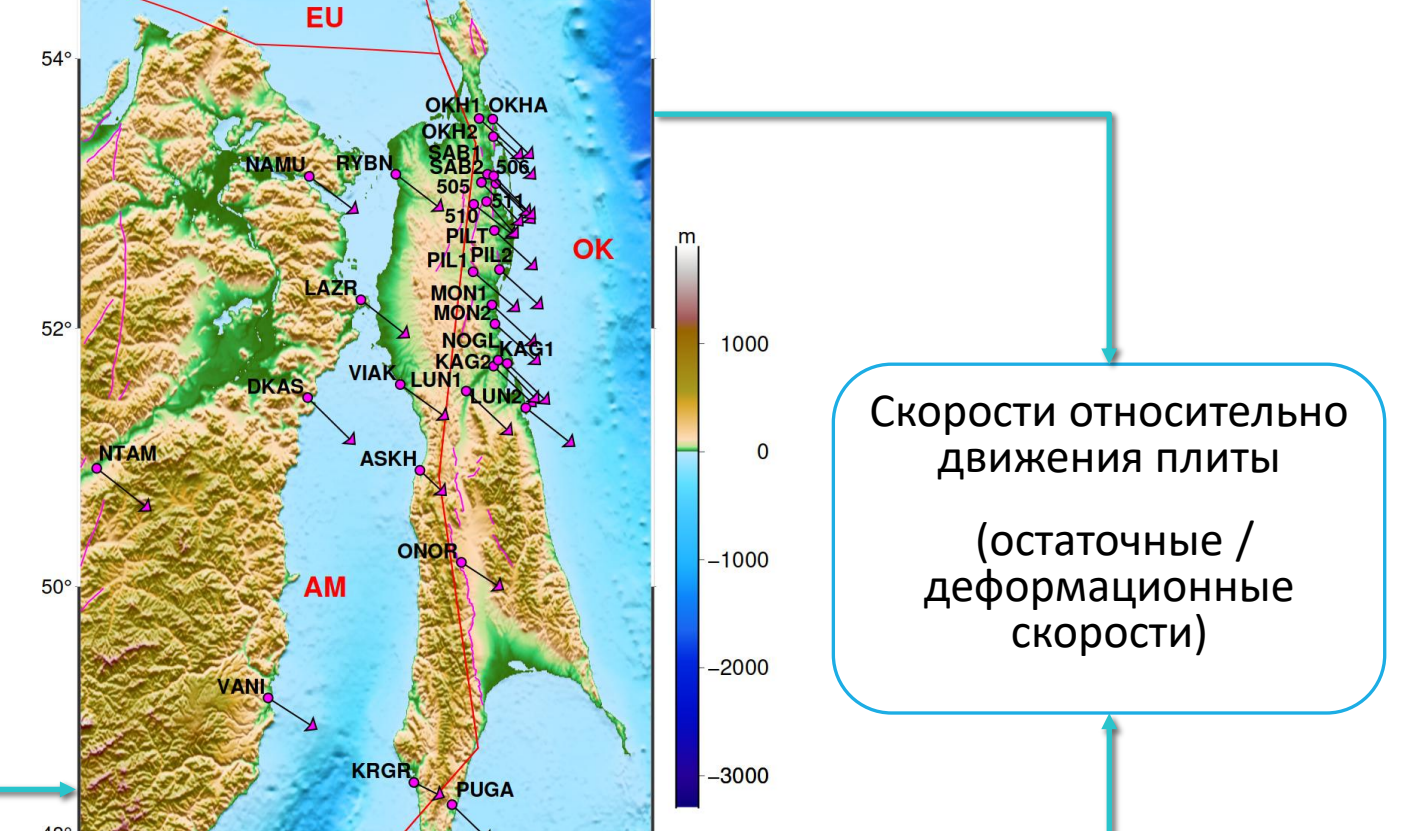


## Горизонтальные скорости смещения пунктов

140°

142°





#### Скорости движения плиты в точке:

 $v_E^{\text{п.л.}} = R\omega\cos\varphi\,(\sin\varphi_{\text{п.л.}} - \cos\varphi_{\text{п.л.}}\operatorname{tg}\varphi\cos(\lambda_{\text{п.л.}} - \lambda)),$   $v_N^{\text{п.л.}} = R\omega\cos\varphi_{\text{п.л.}}\sin(\lambda - \lambda_{\text{п.л.}}),$ 

## Исходные данные (блоки, их границы и кинематика)

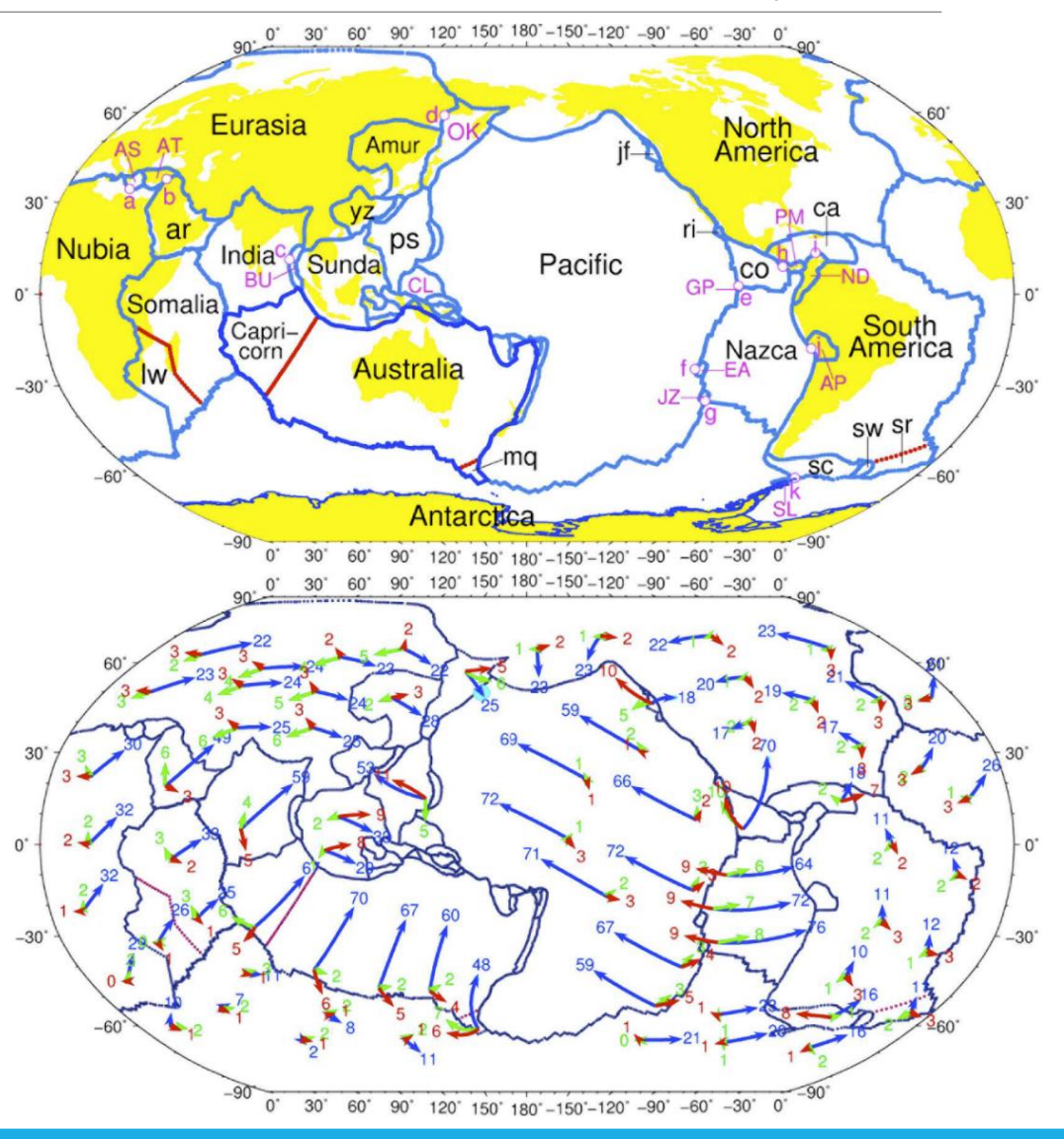
#### Модель NNR-MORVEL56

#### Контактирующие на плиты:

- Амурская плита (AM)
- ➤Охотоморская плита (ОК)
- >Северо-Американская плита (NA) в качестве отсчетной основы

#### Векторы Эйлера плит относительно NA

Блок	Координаты п	олюса Эйлера	Угловая скорость вращения о		
	° <b>c</b> .	° 3.Д.	°/млн. лет		
OK	72.313	10.742	0.1398		
AM	63.444	41.069	0.3160		



## Принцип моделирования подвижности на контакте плит

Коэффициент механического сцепления:

$$arphi = rac{v_{ ext{odp.}}}{v_{ ext{mod.}}}$$
 ,  $0 \leq arphi \leq 1$  .

#### Метод

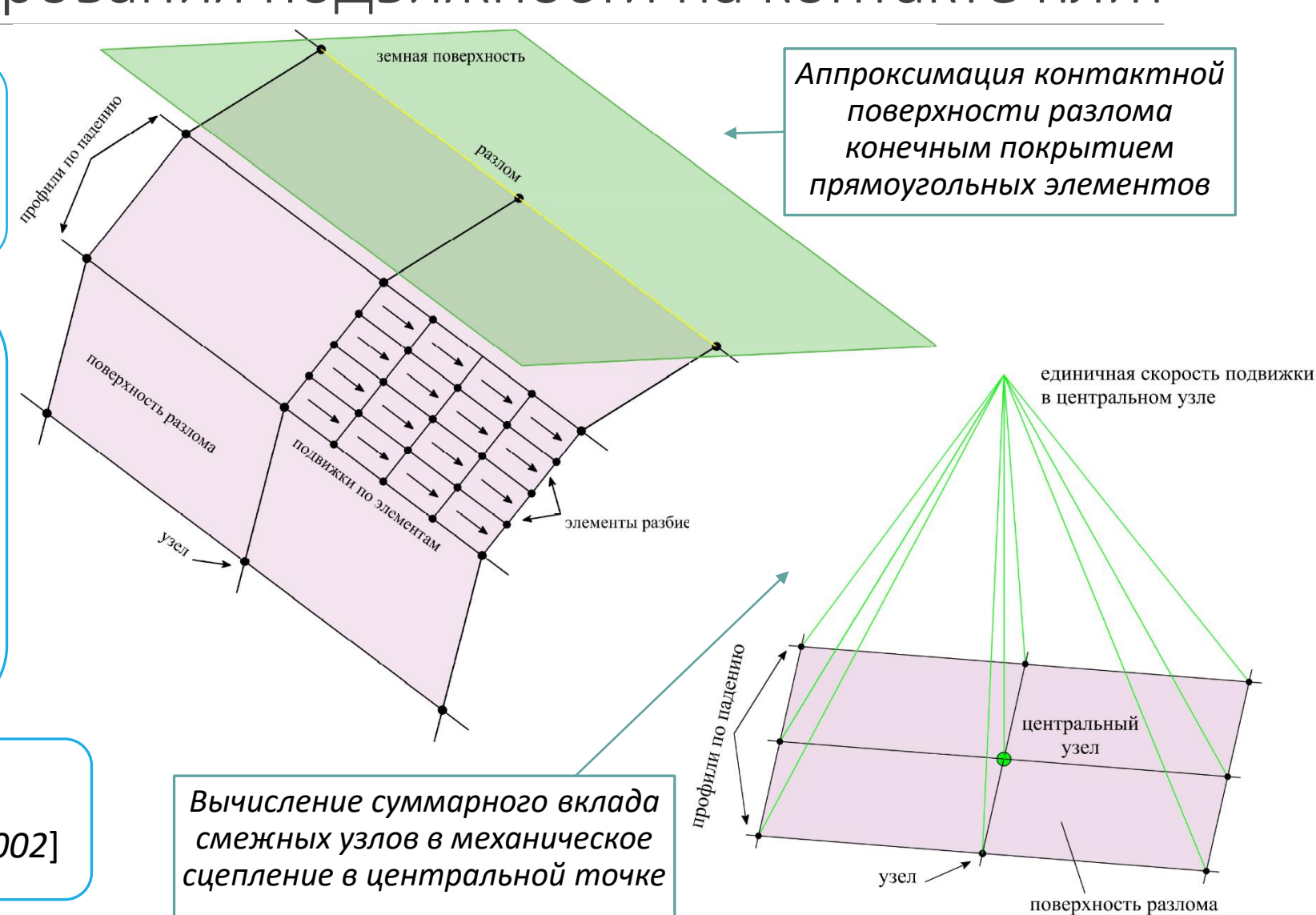
▶Подвижки по прямоугольным элементам [Okada, 1985, 1992]

$$v_{\text{деф.}}(r) = \iint_S G(r, r_S) v_{\text{обр.}}(r_S) dS.$$

▶ Модель [Savage, 1983]

#### Программный пакет

➤ TDEFNODE [McCaffrey et al., 2002]



# Распределение сцепления на контакте плит

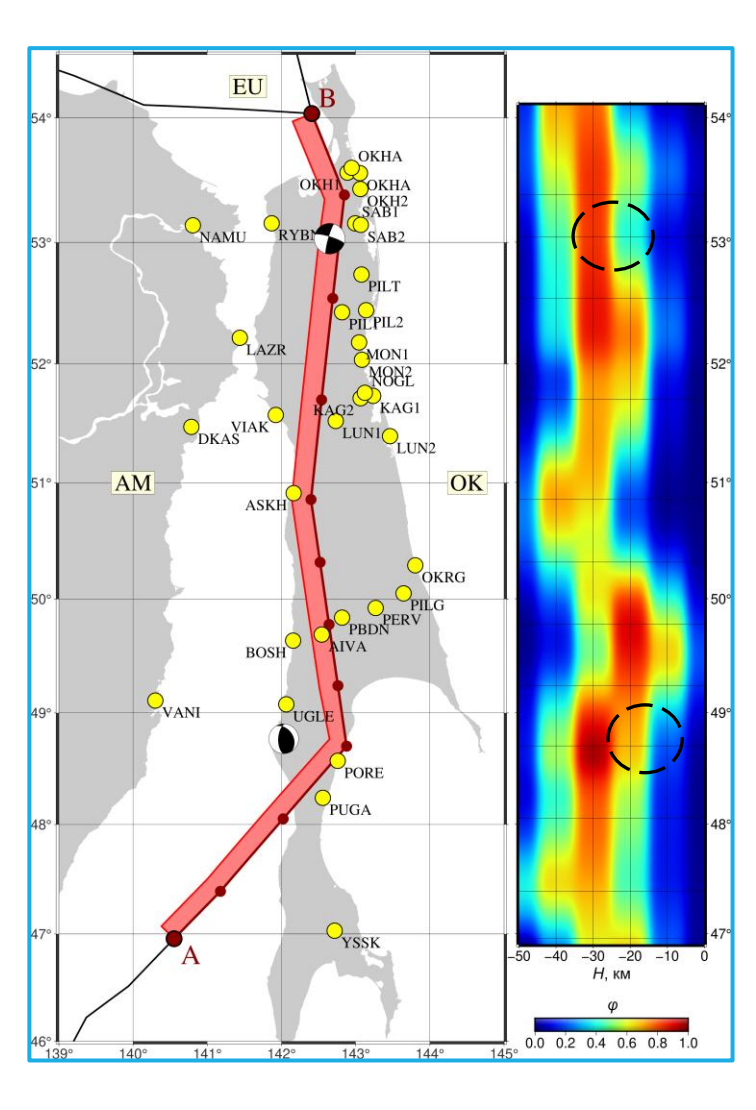
Длины очаговых зон по простиранию и падению [Резниченко, 1976]:

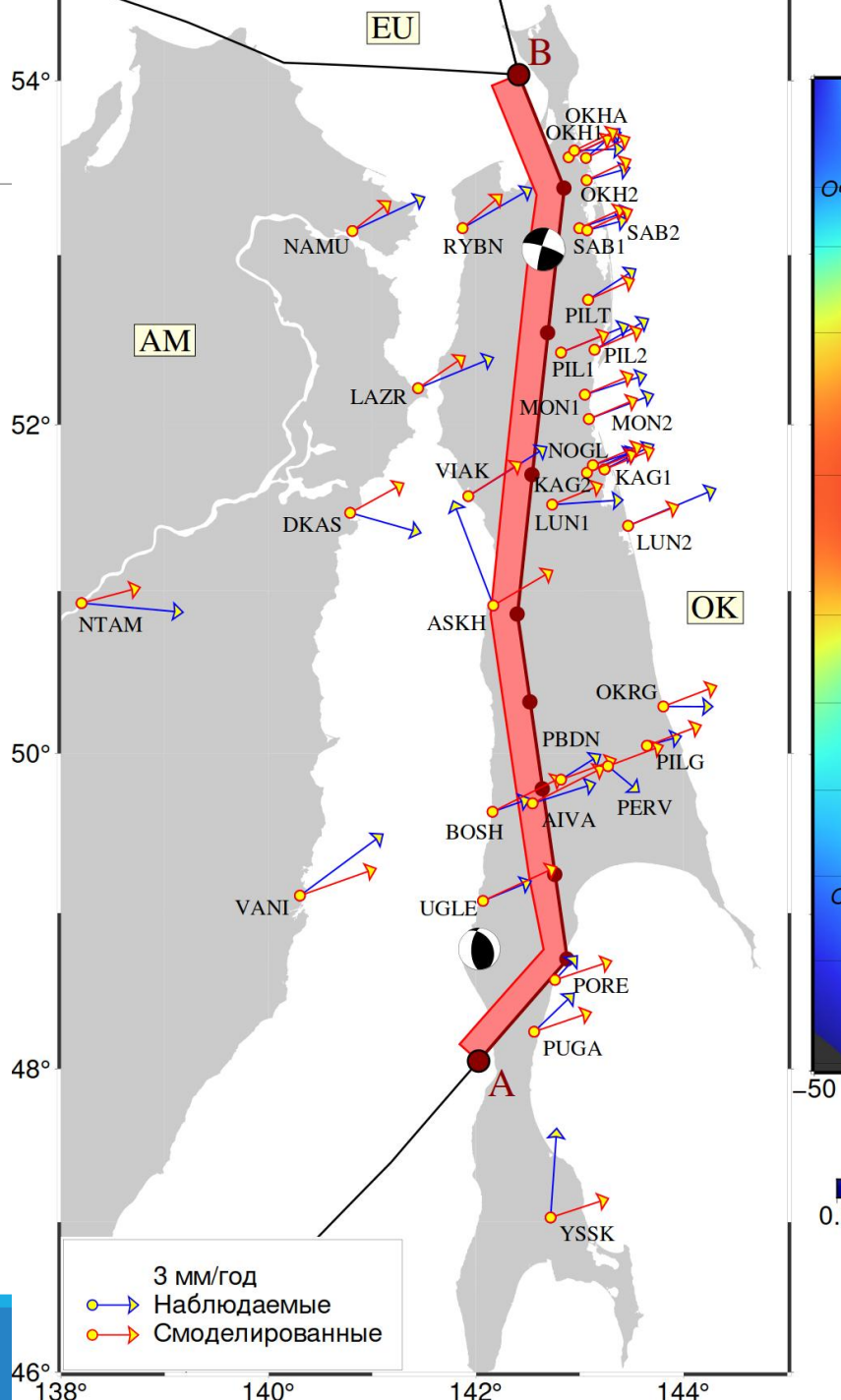
 $\lg L = 0.440M - 1.289,$ 

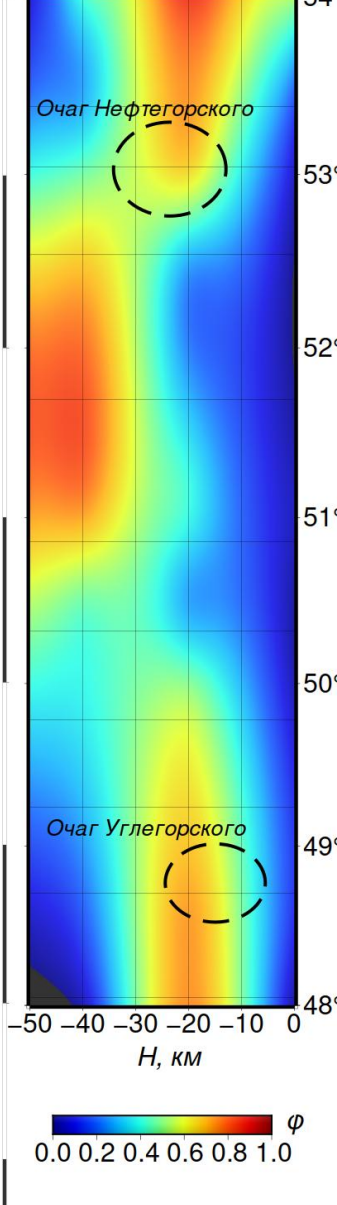
 $\lg W = 0.401M - 1.448$ 

Нефтегорское землетрясение (27.05.1995 г.,  $M_W = 7.0$ )

Углегорское землетрясение  $(4.08.2000 \, \text{г., } M_W = 6.8)$ 







[Гридчина и др., 2023]

## Уточненная кинематика блоков

#### [Гридчина и др., 2023] DOI: 10.21455/gr2023.4-5

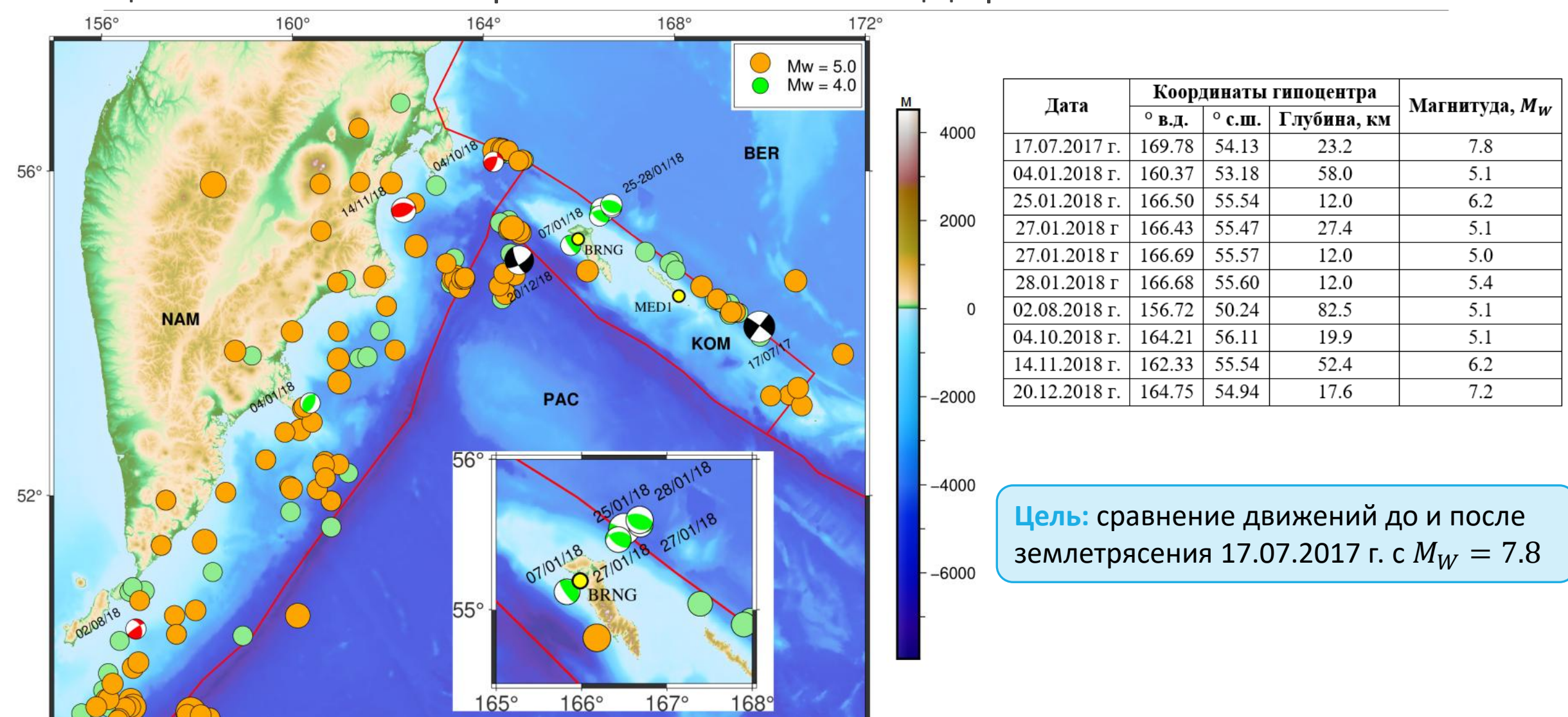
Блок	Координаты п	олюса Эйлера	V		
	° с.ш.	° 3.д.	Угловая скорость вращения ω, °/млн. лет		
OK	-23.0	16.6	-0.028		
AM	57.6	45.1	0.282		
EU*	61.8	40.6	0.211		

<sup>\*</sup> из модели MORVEL56

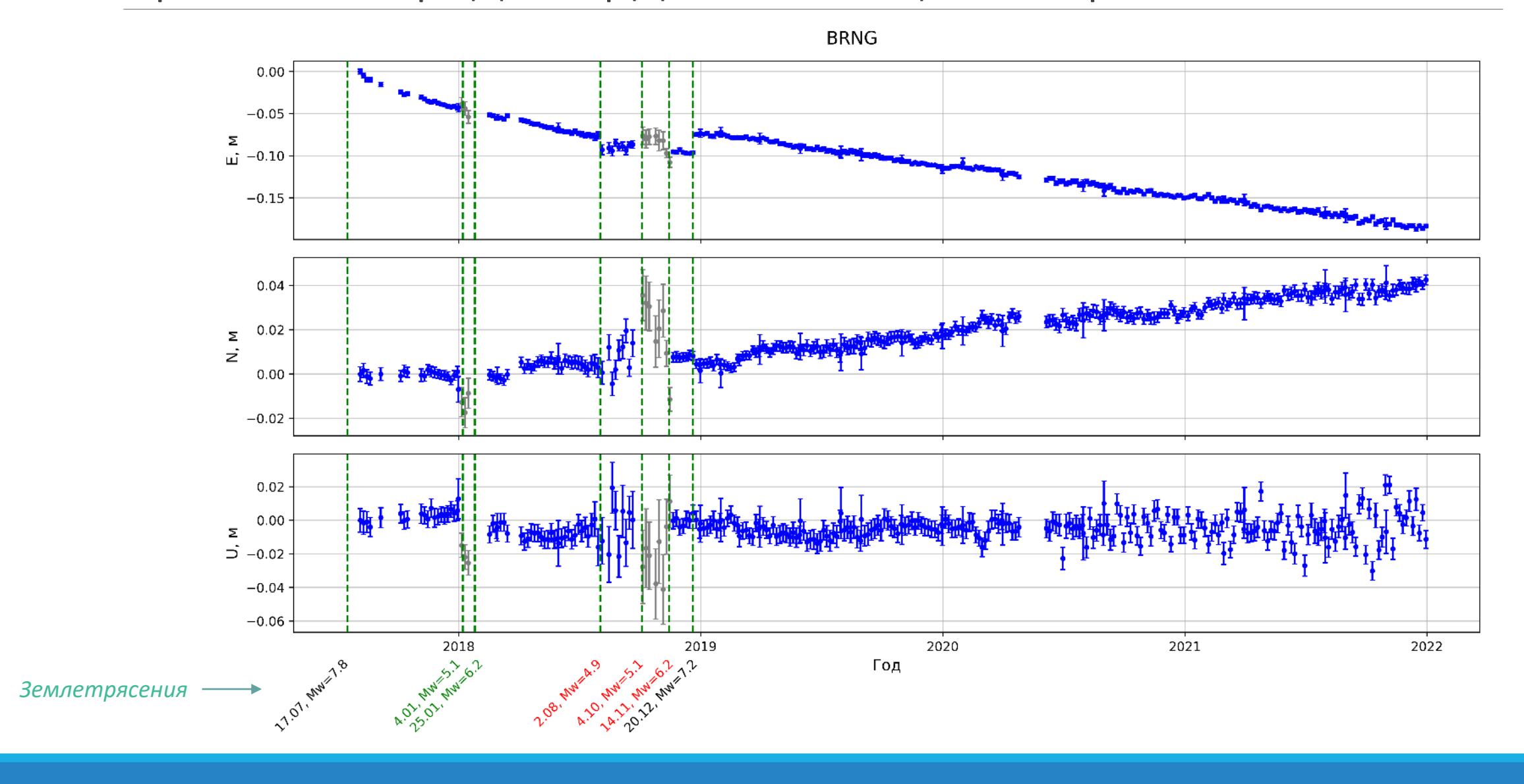
#### Новые результаты

Блок	Координаты п	олюса Эйлера	Westernag even active promoting of 0/2277 T	
	° с.ш.	° 3.д.	Угловая скорость вращения ω, °/млн. лет	
OK	72.9	67.8	0.073	
AM	56.7	44.6	0.342	

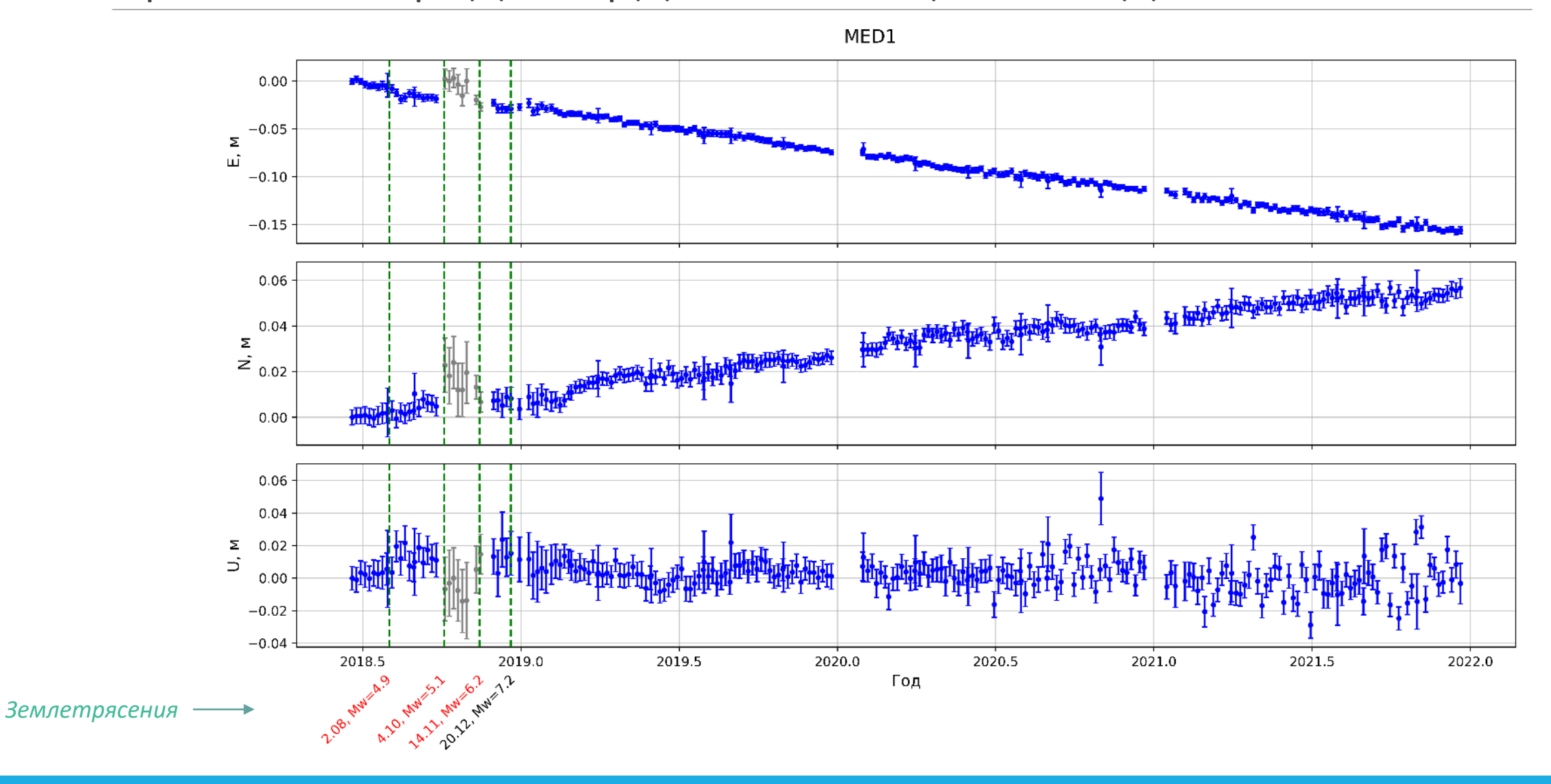
# Исследование движений земной поверхности между циклами землетрясений на Командорских о-вах



## Временной ряд координат станции «Беринг»

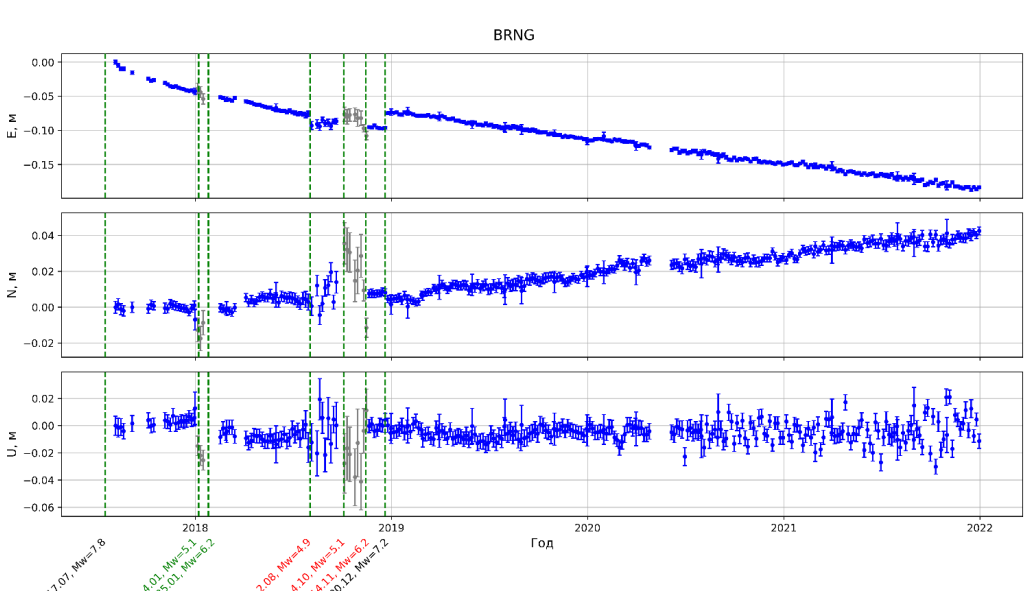


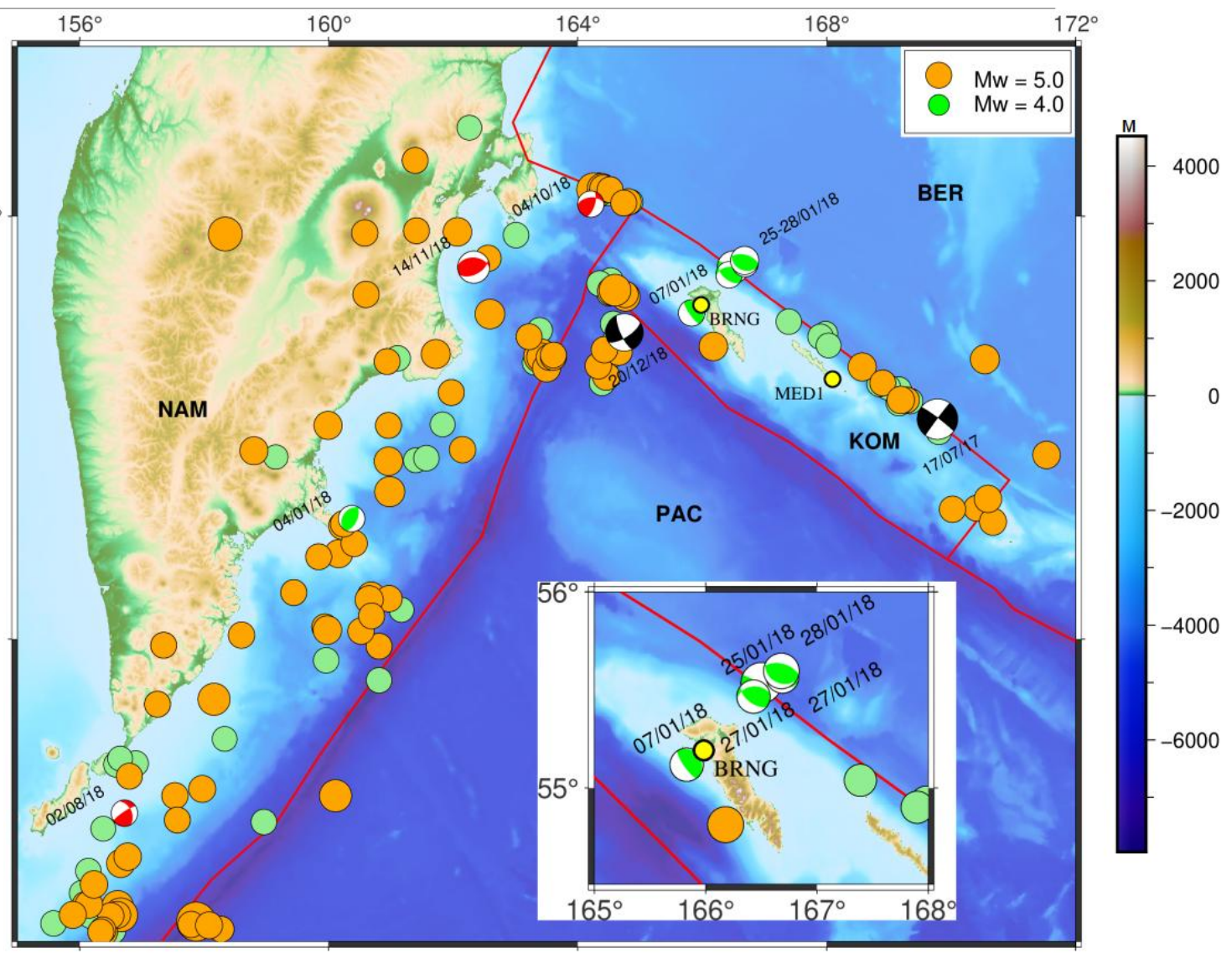
## Временной ряд координат станции «Медный-1»



# Сейсмические события, отразившиеся на графиках

Пото	Коорд	цинаты	Магнитуда, <i>М</i>	
Дата	° в.д. ° с.ш.			
04.01.2018 г.	160.37	53.18	58.0	5.1
25.01.2018 г.	166.50	55.54	12.0	6.2
27.01.2018 г	166.43	55.47	27.4	5.1
27.01.2018 г	166.69	55.57	12.0	5.0
28.01.2018 г	166.68	55.60	12.0	5.4
02.08.2018 г.	156.72	50.24	82.5	4.9
04.10.2018 г.	164.21	56.11	19.9	5.1
14.11.2018 г.	162.33	55.54	52.4	6.2
20.12.2018 г.	164.75	54.94	17.6	7.2





## Оценка скоростей смещения станций

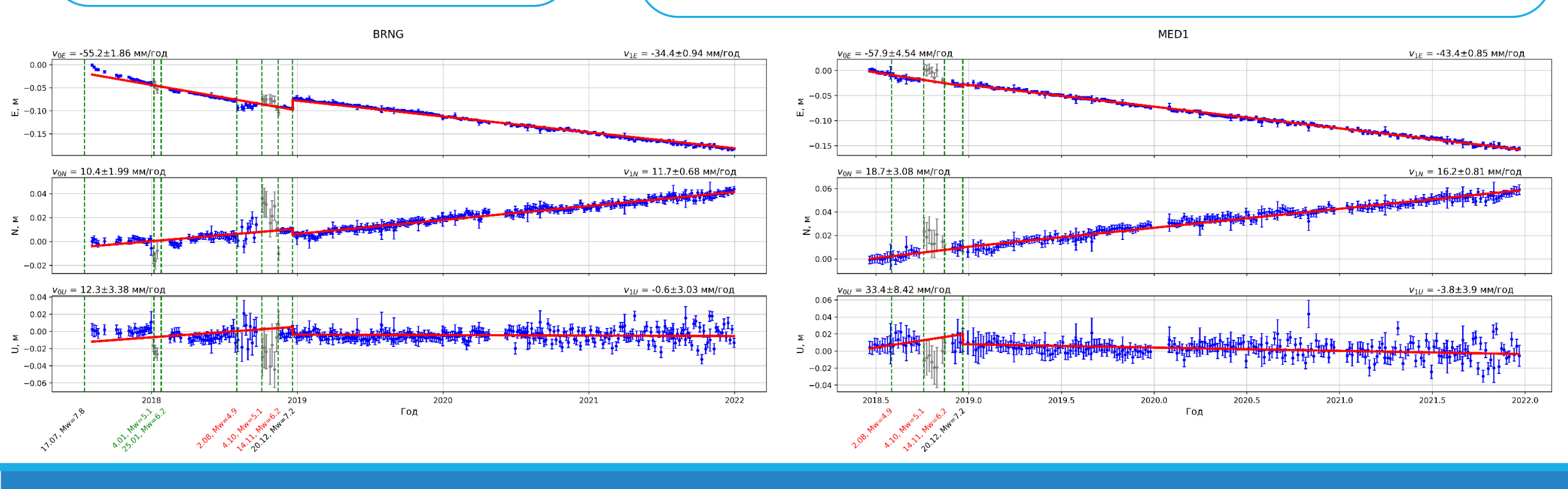
#### Алгоритм оценки:

- 1. Деление на 2 участка: до и после 20.12.2018 г.
- 2. Исключение «выбросов»

. Периодические компоненты по 2-му участку CATS [Williams, 2008]

$$y(t_i) = a + bt_i + csin(2\pi t_i) + dcos(2\pi t_i) + esin(4\pi t_i) + fcos(4\pi t_i) + \sum_{j=1}^{n_h} h_j H(t_i - T_j) + \varepsilon_i,$$

4. Удаление периодики из 1-го участка с учетом ковариаций с помощью GLOBK [Herring, 2010]



## Результат оценки скоростей

#### Сравнение скоростей смещения пунктов

Период / Метод	(55.194	BRNG 4 °с.ш., 165.98	4 °в.д.)	MED1 (54.505 °с.ш., 168.094 °в.д.)		
	$v_{\it E}$ , мм/год	$v_{\scriptscriptstyle N}$ , мм/год	$v_{\scriptscriptstyle U}$ , мм/год	$v_{\scriptscriptstyle E}$ , мм/год	$v_{\scriptscriptstyle N}$ , мм/год	$v_{\scriptscriptstyle U}$ , мм/год
1* только CATS	-68.4±2.84	7.2±2.81	-1.2±5.81	-56.4±6.46	9.1±5.11	41.0±13.84
1 предложенная методика	-55.2±1.86	10.4±1.99	12.3±3.38	-57.9±4.54	$18.7 \pm 3.08$	$33.4 \pm 8.42$
2** CATS	-34.4±0.94	11.7±0.68	-0.6±3.03	-43.4±0.85	16.2±0.81	-3.8±3.9

Примечания: \* период между  $M_W = 7.8$  и  $M_W = 7.2$ , \*\* период после  $M_W = 7.2$ .

#### Итог:

- >Учет периодических вариаций и ковариационных матриц при оценке скоростей
- ▶Повышение точности итоговых оценок
- ➤ Снижение отличий между двумя участками
- >>> Получение более реалистичных оценок скоростей

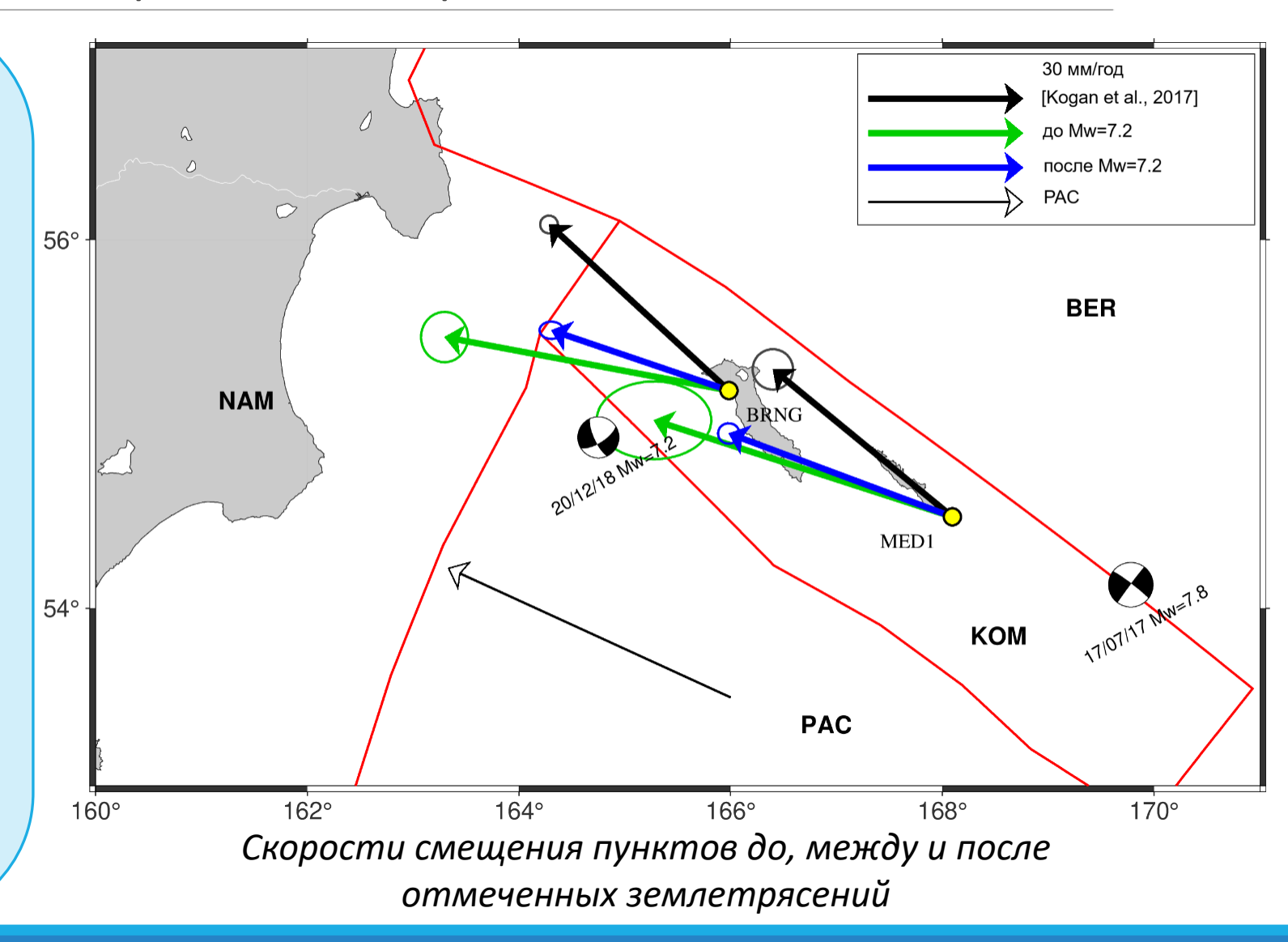
## Сравнение движений в разные периоды

#### Между землетрясениями

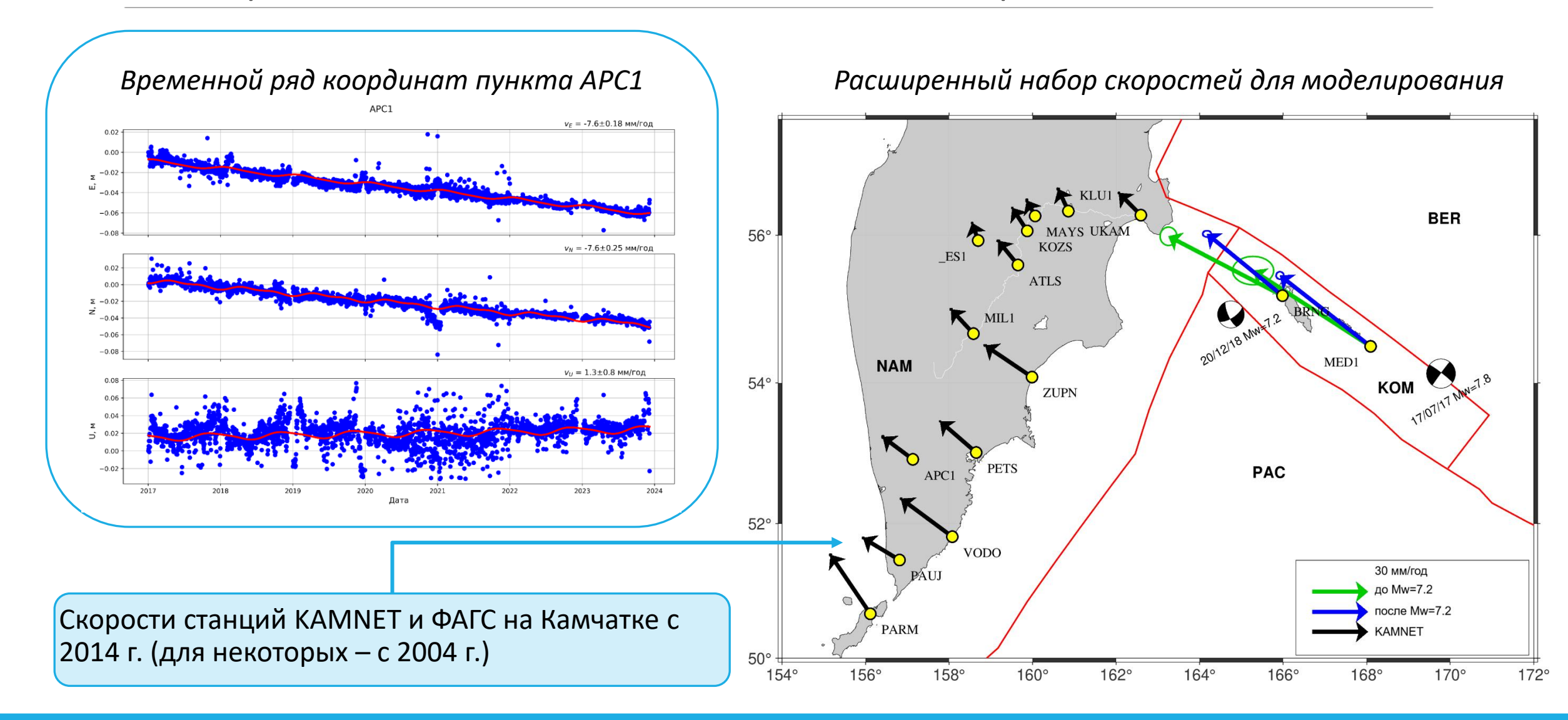
- ➤ Направление изменилось на 20-30° против часовой стрелки
- Длины увеличились ~ на 27%
- >>> Изменение распределения сцепленных участков, накапливающих напряжения

#### После $M_W = 7.2$

- ➤ Направление изменилось ~ на 5° в сторону ранее наблюдаемых
- Длины уменьшились в среднем на 30%
- >>>> Повторное перераспределение, что согласуется с отсутствием на дальнейшем рассматриваемом участке сильных землетрясений вблизи о-вов



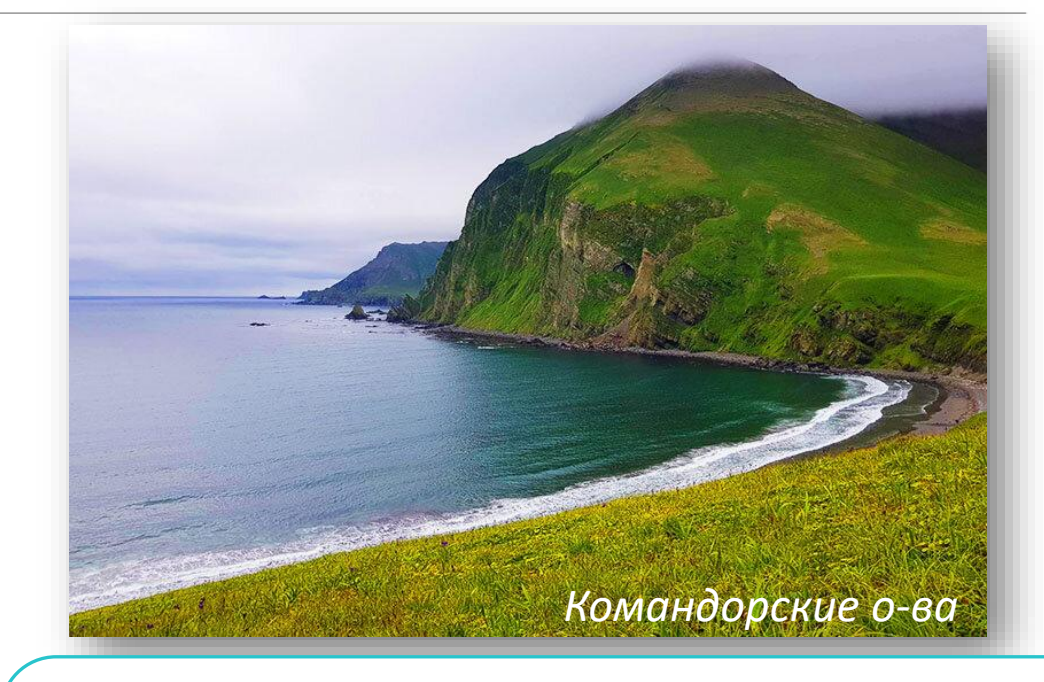
## Материалы для дальнейшего моделирования



### Итоги



Распределение механического сцепления и поверхностные деформации относительно стабильны после реализации сильных сейсмических событий >>> дефицит выделения сейсмического момента и высокая вероятность новых сильных землетрясений



За период 2018-2022 г. — многократная перестройка режима межплитового взаимодействия, сопровождающая каждое сильное землетрясение и отразившаяся на наблюдаемых на поверхности движениях

Существенные различия в реакции на сильные сейсмические события структур рассмотренных участков контакта плит на Дальнем Востоке

